

Oscillations transverses conducteurs (TCP).

Partie I :

1) $a = b \neq c$ et $\alpha = \beta = \gamma = 90^\circ$

2) * 8 Sn au sommet du cube + 1 Sn au centre

$$\rightarrow N_{\text{Sn}} = 8 \times \frac{1}{8} + 1 = 2$$

* 2 O à l'intérieur du cube + 4 O sur les faces.

$$\rightarrow N_O = 2 + 4 \times \frac{1}{2} = 4$$

* 2 groupements Sn_2O_3 par maille.

3) Il y a 2 Sn dans cette maille :

Sn_a (0; 0; 0) à l'origine de la maille

Sn_b ($\frac{1}{2}; \frac{1}{2}; \frac{1}{2}$) au centre de la maille.

4) * L'intensité diffractée par un plan (h, k, l) dépend du facteur de structure : $I_{hkl} = |F_{hkl}|^2$

* $F_{hkl} = \sum_i^{\text{atomes}} f_i e^{2\pi i(hx_i + ky_i + lz_i)}$ avec $f_i = \text{facteur de forme atomique}$.

* $f_i \sim z_i \Rightarrow I_{hkl} \sim z_i^2$

$$\left(\frac{z_{\text{Sn}}}{z_0} \right)^2 = \left(\frac{50}{8} \right)^2 = 39 \quad \left(\text{si on prend les charges} \frac{(z_{\text{Sn}})^2}{(z_0)^2} = \left(\frac{48}{10} \right)^2 = 21 \right)$$

\Rightarrow Puisque la densité électronique est beaucoup plus grande sur Sn que O, les Sn contribuent plus à la diffraction des RX.

$$5) F_{hkl} = \sum_i f_{Sn} e^{2\pi i(hx_i + ky_i + lz_i)} + \sum_j f_O e^{2\pi i(hx_j + ky_j + lz_j)}$$

$$= f_{Sn} \left(e^{2\pi i(kx_0 + ly_0 + lz_0)} + e^{2\pi i(k \cdot \frac{1}{2} + ly \cdot \frac{1}{2} + lz \cdot \frac{1}{2})} \right)$$

$$= f_{Sn} (1 + e^{i(k+h+l)})$$

$F_{hkl} = 0$ si $k+h+l$ est impair

$F_{hkl} \neq 0$ si $k+h+l$ est pair.

6) * Oui, tous les pics correspondent à $k+h+l$ pair sauf le pic (111).

* Pour ce dernier, qui est peu intense, on peut penser qu'il n'y a pas d'oxygènes dont nous avons négligé la contribution.

7). Il faut déterminer 2 paramètres de maille: a et c .

* Il faut utiliser la loi de Bragg: $2d_{hkl} \sin \theta = n\lambda$.

* Il faut prendre les pics ayant les indices les plus simples.

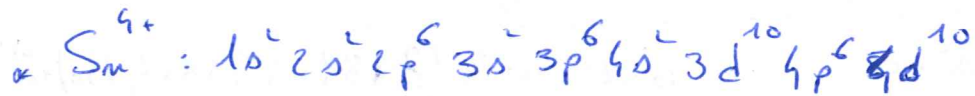
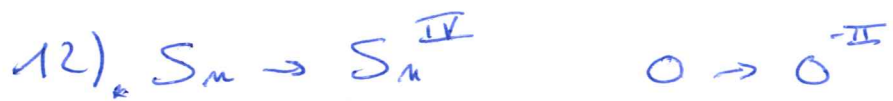
* Pour a : (200) $\rightarrow 2\theta \approx 38^\circ$

$$d_{200} = \frac{\lambda}{2 \sin \theta} = \frac{1,542}{2 \sin(38^\circ)} = 2,368 \text{ \AA}$$

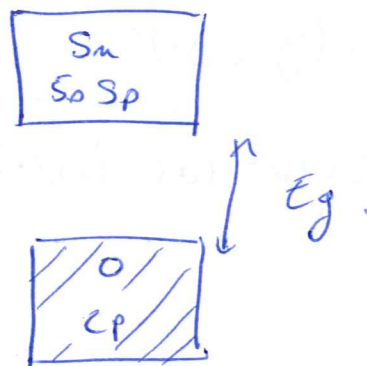
$$d_{200} = \frac{1}{\sqrt{\frac{2^2}{a^2} + \frac{0^2}{b^2} + \frac{0^2}{c^2}}} = \frac{a}{2} \Rightarrow a = 2d_{200} = 4,736 \text{ \AA}$$

Partie II

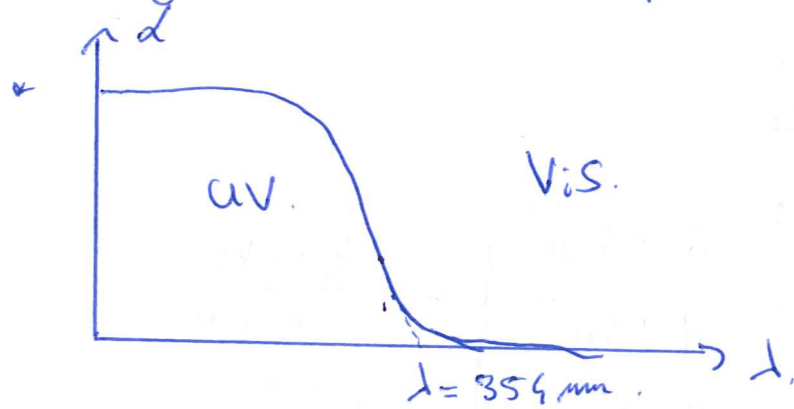
11) Le niveau de Fermi ne coupe aucune bande
 \Rightarrow isolant.



• Dernière bande remplie sur O (orbitales $2p$)
 Première bande vide sur Sn (orbitales $5s, 5p$)



13). Le gap est direct au point Γ et il vaut $\approx 3,5 \text{ eV}$.



\Rightarrow si pouche : SnO_2 blanche
 si monocristal : SnO_2 incolore.

• Pour c : $(002) \rightarrow \angle \theta = 58^\circ$

$$d_{002} = \frac{1,542}{2 \sin\left(\frac{58}{2}\right)} = 1,590 \text{ \AA}$$

$$c = 2 \times d_{002} = 3,181 \text{ \AA}$$

8) $\rho_{\text{SnO}_2} = \frac{N_{\text{SnO}_2} \times M_{\text{SnO}_2}}{N_A \times a^2 \times c} = \frac{2 \times (118,71 + 16 \times 2)}{6,022 \cdot 10^{23} \times (3,181 \times 4,736 \times 4,736) \cdot 10^{-24}}$

$$= 7,01 \text{ g. cm}^{-3}$$

9) La distance de entre oxygène de l'étain central est :

$$\begin{aligned} d_{\text{Sn}-\text{O}} &= \sqrt{(x_{\text{Sn}} - x_0)^2 a^2 + (y_{\text{Sn}} - y_0)^2 b^2 + (z_{\text{Sn}} - z_0)^2 c^2} \\ &= \sqrt{(0,5 - 0,31)^2 \times 4,736^2 + (0,5 - 0,31)^2 \times 4,736^2 + (0,5 - 0)^2 \times 3,181^2} \\ &= 2,037 \text{ \AA} \end{aligned}$$

$$d_{\text{Sn}-\text{O}} = R_{\text{Sn}} + R_{\text{O}} \Rightarrow R_{\text{Sn}} = 2,037 - 1,26 = 0,777 \text{ \AA} \\ = 78 \text{ pm.}$$

10) Comptacité : $Z = \frac{V_{\text{atomes}}}{V_{\text{maille}}}.$

$$\left. \begin{aligned} V_0 &= \frac{4}{3} \pi R_0^3 = \frac{4}{3} \pi \times 1,26^3 = 8,38 \text{ \AA}^3 \\ V_{\text{Sn}} &= \frac{4}{3} \pi R_{\text{Sn}}^3 = \frac{4}{3} \pi 0,78^3 = 1,93 \text{ \AA}^3 \\ V_{\text{maille}} &= a^2 c = 3,181 \times 4,736^2 = 71,35 \text{ \AA}^3 \end{aligned} \right\} Z = \frac{4 V_0 + 2 V_{\text{Sn}}}{V_{\text{maille}}} = 0,53$$

\rightarrow structure peu compacte

14) Le chemin $\Gamma \rightarrow X$ correspond à la direction (100)

$$\Gamma = (0, 0, 0) \text{ et } X = \left(\frac{\pi}{a}, 0, 0\right)$$

Le chemin $\Gamma \rightarrow Z$ correspond à la direction (001)

$$\Gamma (0, 0, 0) \text{ et } Z = \left(0, 0, \frac{\pi}{c}\right)$$

Comme $a > c$ alors $\frac{\pi}{a} < \frac{\pi}{c}$ donc la distance $\Gamma - X$ est plus petite que la distance $\Gamma - Z$.

15) Si on parle la bande de conduction : dosage n
→ ce sont les e^- qui conduisent.

* Si on décale la BV, dosage p
→ ce sont les h^+ qui conduisent.

16) * Pour les e^- , c'est la BC qui il faut prendre en compte. $E(k) = E_0 + \frac{\hbar^2}{2m_e^*} k^2$

$$= 5,8 \cdot 10^{-19} + 2,7 \cdot 10^{-38} k^2$$

$$\Rightarrow m_e^* = \frac{\hbar^2}{2 \times 2,7 \cdot 10^{-38}}$$

$$\text{AN : } m_e^* = \frac{(1,05 \cdot 10^{-34})^2}{2 \times 2,7 \cdot 10^{-38}} = 2,08 \cdot 10^{-31} \text{ kg.}$$

$$m_e^* = \frac{2,08 \cdot 10^{-31}}{9,10^{-31}} = 0,23 m_e.$$

* Pour m_h^* , on fait le même calcul sur la BV.

$$m_h^* = \frac{\hbar^2}{2 \times 3,1 \cdot 10^{-39}} = \frac{(1,05 \cdot 10^{-34})^2}{2 \times 3,1 \cdot 10^{-39}} = 1,62 \cdot 10^{-30} \text{ kg.}$$

$$m_h^* = 1,78 \text{ me.}$$

* $m_e^* \ll m_h^* \rightarrow \text{SnO}_2$ sera un meilleur conducteur de type n que de type p.

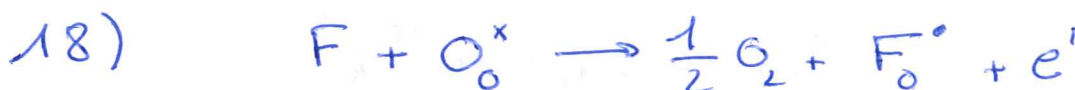
↳ il faut faire un dopage n : ajouter des e⁻ dans la BC.

17) * $m^* \propto \frac{1}{\beta}$ β : intégrale de résonance.

$\beta_{5s,5p} \gg \beta_{2p}$ car 5s, 5p plus diffuses que 2p.

$$\Rightarrow m_{5s,5p}^* = m_e^* \ll m_h^* = m_{2p}^*$$

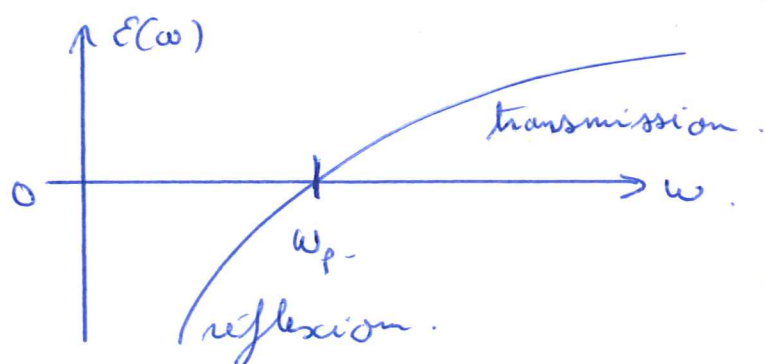
Partie III



19) → 1e⁻ est libérée dans le matériau
→ il va dans la BC → dopage de type n.

20) Si $E(\omega) < 0 \rightarrow$ réflexion de la lumière.

Si $E(\omega) > 0 \rightarrow$ transmission de la lumière.



$$E(\omega_p) = 0$$

$$\Rightarrow m = \frac{E_0 m^* \omega_p^L}{e^L}$$

$$\text{or } \omega_p = \frac{2\pi c}{\lambda_{p-}}$$

$$\Rightarrow m = \frac{E_0 m^*}{e^L} \times \frac{4\pi^2 c^2}{\lambda_p^2}$$

$$AN : m = \frac{8,85 \cdot 10^{12} \times 0,23 \times 9,1 \cdot 10^{-31} \times 4\pi^2 \times (3 \cdot 10^8)^2}{(1,602 \cdot 10^{-19})^2 \times (800 \cdot 10^{-3})^2}$$

$$= 4 \cdot 10^{26} \text{ m}^{-3} = 4 \cdot 10^{20} \text{ cm}^{-3}$$

21) Sachant que $1 e^-$ est générée par $1 F$ cela signifie que : $[F] = m = 4 \cdot 10^{26} \text{ m}^{-3}$.

$$= \frac{N_F}{V_{\text{maille}}}$$

$$N_F = 4 \cdot 10^{26} \times (4,736 \times 4,736 \times 3,181) \cdot 10^{-30} = 0,029$$

Il y'a en moyenne 0,029 atomes de F par maille.

22) Dans une maille il y'a 4 O., si en moyenne 0,029 O est remplacé par 1 F, alors il y'a 3,971 O

$$\Rightarrow \begin{cases} 2 \text{ Sn} \\ 3,971 \text{ O} \text{ par maille} \\ 0,029 \text{ F} \end{cases} \Rightarrow \text{Sn}_{1,9855} \text{O}_{3,971} \text{F}_{0,0145}$$

$$\frac{N_F}{N_O} = \frac{0,029}{4} = 0,725\%$$

23) Dès que Sn_xO_y est dopé, il devient métallique.

$$\Rightarrow \rho \uparrow \text{ si } T \uparrow$$

Cela correspond au comportement observé.

24) A T fixée, $\rho \downarrow$ si le dopage \uparrow , or

$$\rho = \frac{1}{e} = \frac{1}{m_e \mu_e} \quad m \uparrow \text{ si le dopage } \uparrow$$

\rightarrow c'est bien le comportement attendu.

$$25) \text{ graphiquement: } \sigma = \frac{1}{\rho} = \frac{1}{2 \cdot 10^5} = 5 \cdot 10^4 \Omega^{-1} \cdot m^{-1}$$

$$26) \sigma = n e \mu_e \Rightarrow \mu_e = \frac{\sigma}{n e}$$

* 3% $\rightarrow \frac{N_F}{4} = 0,03 \rightarrow N_F = 0,12 \text{ / maille.}$

$$\Rightarrow n = \frac{0,12}{(4,736 \times 4,736 \times 3,181) \cdot 10^{30}} = 1,68 \cdot 10^{27} \text{ m}^{-3}$$

$$\mu_e = \frac{5 \cdot 10^4}{1,602 \cdot 10^{19} \times 1,68 \cdot 10^{27}} = 1,86 \cdot 10^{-4} \text{ m}^2 \cdot C^{-1} \cdot \Omega^{-1}$$

27)

	σ $\Omega^{-1} \cdot m^{-1}$	n m^{-3}	μ_e $m^2 \cdot \Omega^{-1} \cdot C^{-1}$
0,5%	$2 \cdot 10^4$	$2,80 \cdot 10^{26}$	$4,66 \cdot 10^{-4}$
3%	$5 \cdot 10^4$	$1,68 \cdot 10^{27}$	$1,86 \cdot 10^{-4}$
7%	10^5	$3,92 \cdot 10^{27}$	$1,59 \cdot 10^{-4}$

→ transparent

} réfléchissant.

28). On voit que $\mu_e \uparrow$ si $n \uparrow$.

En effet: $\mu_e = e \frac{\tau}{m \kappa}$ τ : temps de collision.

si $m \uparrow$, le nombre de défauts $\uparrow \Rightarrow$ beaucoup de collision

$\Rightarrow \tau \downarrow$

$\Rightarrow \mu_e \uparrow$

* En conclusion: $\sigma = n e \mu_e$

si $[F] \uparrow \xrightarrow{n \uparrow} \xrightarrow{\mu_e \uparrow} \sigma \uparrow$

29) Noté W , la E_f^+ de travail correspond à l'énergie minimum à fournir à un matériau afin d'en extraire un e^- pour l'amener à l'énergie du vide.

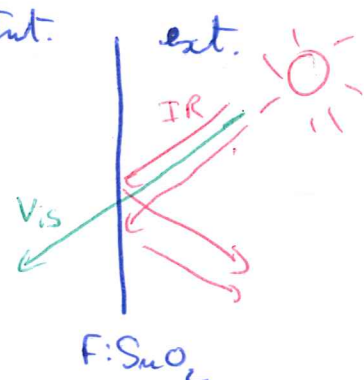
30) Dans un solide : $W = |E_f|$

• Pour SnO_2 pure $E_f \approx -6,2 \text{ eV} \rightarrow W = 6,2 \text{ eV}$.
(cf Figure 3)

• Pour $\text{SnO}_2:\text{F}$, E_f est proche de la BC :
 $|E_f| \approx 4,5 \text{ eV}$.

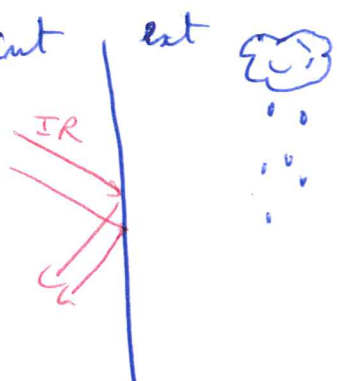
31) F: SnO_2 laisse passer la lumière visible mais réfléchit les IR.

En été :



F:SnO_2
laisse passer la lumière Vis.
réfléchit les IR.

En hiver :



"

